



# DECOHERENCE ET LA MESURE DE L'ETAT DU CHAMP EN OPTIQUE QUANTIQUE

Luiz Davidovich  
Instituto de Física  
Universidade Federal do Rio de Janeiro  
Brésil

# SOMMAIRE

- Introduction à la décohérence
- Expériences sur la décohérence avec des champs en cavités
- Mesure de l'état du champ électromagnétique: la distribution de Wigner – théorie et expériences récentes
- Prochaines étapes?

# COLLABORATEURS

**Brésil:** N. Zagury, R.L. de Matos Filho (Pos-Doc)

*Etudiants:* M. Abanto, A.R.R. Carvalho, M. França, L.G. Lutterbach, P. Milman

**France:** M. Brune, S. Haroche, V. Lefèvre, J.M. Raimond (cavités, laser) + étudiants

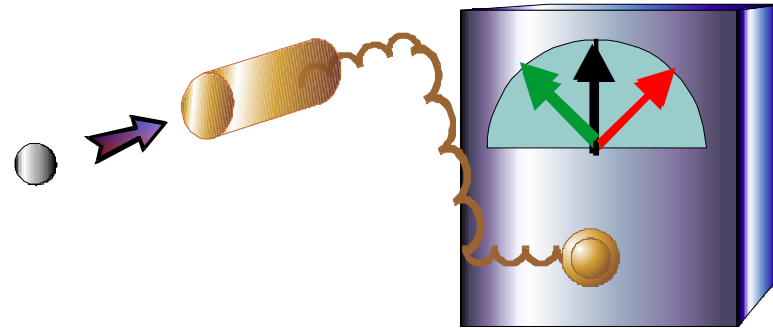
C. Fabre, E. Giacobino, M. Kolobov (laser)

Y. Castin (décohérence)

# DECOHERENCE

- **Schrödinger (1935)**: Existence de la interférence quantique au niveau microscopique implique nécessairement que le même phénomène doit exister entre deux états macroscopiques différents.
- **Einstein (*Lettre à Born, 1954*)**: Un problème fondamentale de la mécanique quantique est l'inexistence au niveau classique de la majorité d'états permis par la mécanique quantique (superpositions cohérentes de deux ou plus états macroscopiques localisés).
- **Postulat du collapse de von Neumann**: Deux types différents d'évolution quantique: **(I)** évolution déterministe et unitaire (équation de Schrödinger); **(II)** processus probabiliste et irréversible associé à la mesure.

# MESURE QUANTIQUE



Evolution linéaire:

$$|\text{AVANT}\rangle = (|\Psi_1\rangle + |\Psi_2\rangle)|\uparrow\rangle / \sqrt{2}$$



$$|\text{APRES}\rangle = \underbrace{(|\Psi_1'\rangle)}_{|\nearrow\rangle'} + \underbrace{(|\Psi_2'\rangle)}_{|\nwarrow\rangle'} / \sqrt{2}$$

# POURQUOI ON NE PEUT PAS VOIR L'INTERFERENCE?

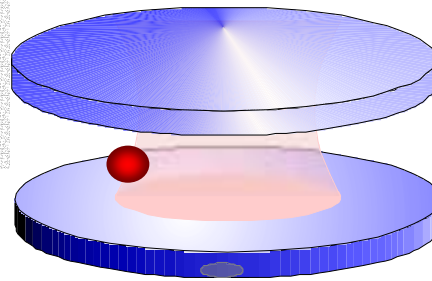
1. *Règle de super-sélection*: absence d'observables non locales avec des éléments de matrice entre les deux états de l'aiguille
2. *Décohérence*: intrication avec l'environnement.

- **Temps de décohérence**: échelle de temps importante en mécanique quantique.
- **Electrodynamique quantique en cavité**: possibilité de surveiller la décohérence entre positions différentes d'une aiguille.

# ELECTRODYNAMIQUE EN CAVITÉ

Domaine des Micro-ondes: Haroche, Walther

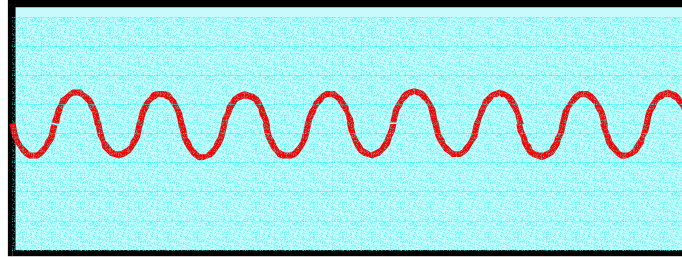
Optique: Kimble, Rempe



**Cavités supraconductrices:  $\tau$  jusqu'à  $\cong 1$  s**

**Manipulation et mesure du champ: atomes de Rydberg planétaires ( $n \approx 50$ ,  $l \approx n-1$ ) – longue durée de vie,  $\approx 30$  ms**

# INTERACTION DISPERSIVE

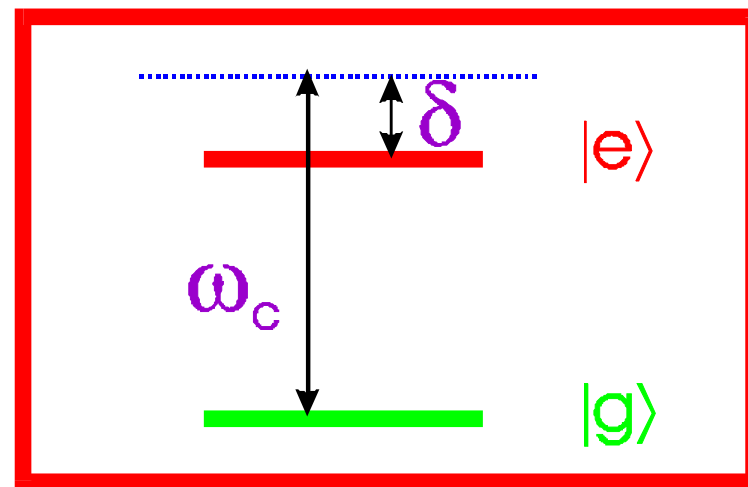


$$\lambda = \frac{c'}{f'}$$

Matériel transparent (interaction dispersive): changement de fréquence  
⇒ changement de phase



# INTERACTION DISPERSIVE D'UN ATOME



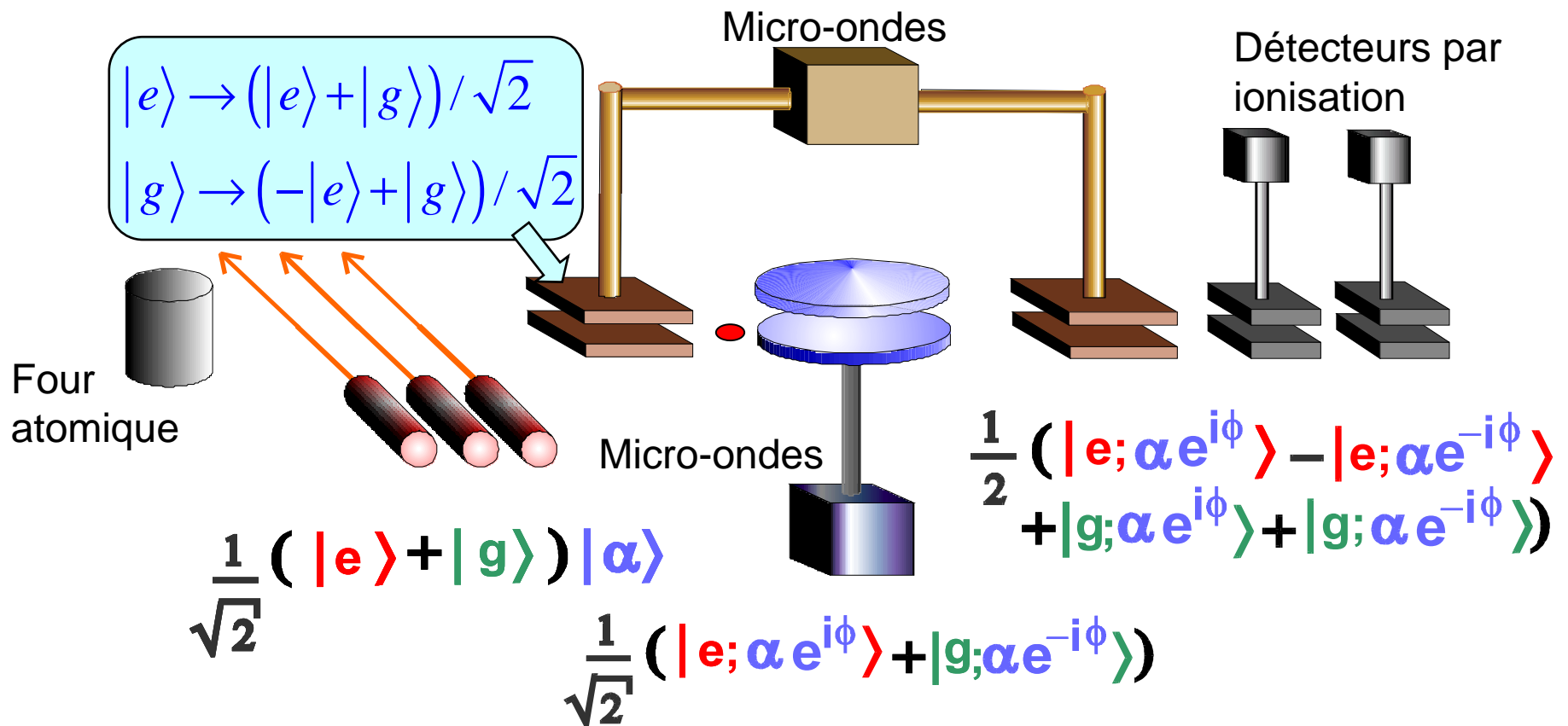
Déplacement  
Stark de  
l'état  $|e\rangle$

$|\alpha e^{i\phi}\rangle$

$$|e\rangle|\alpha\rangle = |e\rangle \otimes \exp\left(-|\alpha|^2/2\right) \sum_{n=0}^{\infty} \frac{e^{in\phi} \alpha^n}{\sqrt{n!}} |n\rangle$$

$\phi \rightarrow$  déphasage par photon  $\propto$  temps d'interaction

# PRODUCTION D'UN ETAT "CHAT DE SCHRÖDINGER"



M. Brune, J.M. Raimond,  
S. Haroche, L.D. et N.  
Zagury, PRA 45,  
5193 (1992)

$$|\psi\rangle \propto |\alpha e^{i\phi}\rangle + e^{i\psi} |\alpha e^{-i\phi}\rangle$$

$e \Rightarrow \psi = \pi$   
 $g \Rightarrow \psi = 0$

# Comment détecter la cohérence?

Il suffit d'envoyer un deuxième atome, et de mesurer la corrélation entre les l'états des deux atomes ! [L.D., A. Maali, M. Brune, J.M. Raimond, et S. Haroche, PRL 71, 2360 (1993); L.D., M. Brune, J.M. Raimond, et S. Haroche, PRA 53, 1295 (1996)].

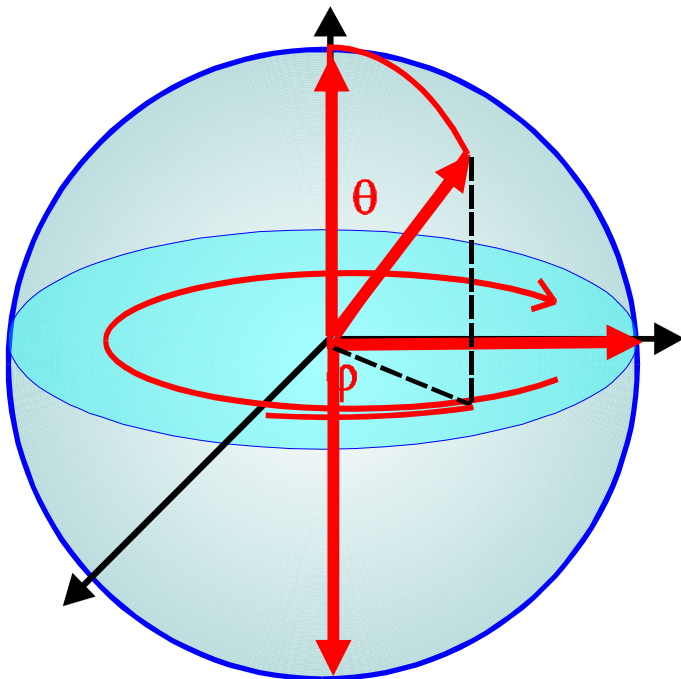
Résultats pour une déphasage de  $\pi$ :  $|\psi\rangle \propto |\alpha\rangle + |-\alpha\rangle$

- **Superposition cohérente** : atomes de préparation et de sonde détectés dans le même état  $\rightarrow P_{ee}=1$

- **Mélange statistique**: deuxième atome détecté dans  $|e\rangle$  ou  $|g\rangle$  avec 50 % de chance  $\rightarrow P_{ee}=1/2$

# INTERPRETATION PHYSIQUE: DETECTION DE LA PARITE DU CHAMP

$$|\psi\rangle = \cos(\theta/2) e^{-i\phi/2} |e\rangle + \sin(\theta/2) e^{i\phi/2} |g\rangle$$



Sphère de Bloch

$$|\alpha\rangle + |-\alpha\rangle \propto \sum_{k=0}^{\infty} \frac{\alpha^{2k}}{(2k)!} |2k\rangle$$

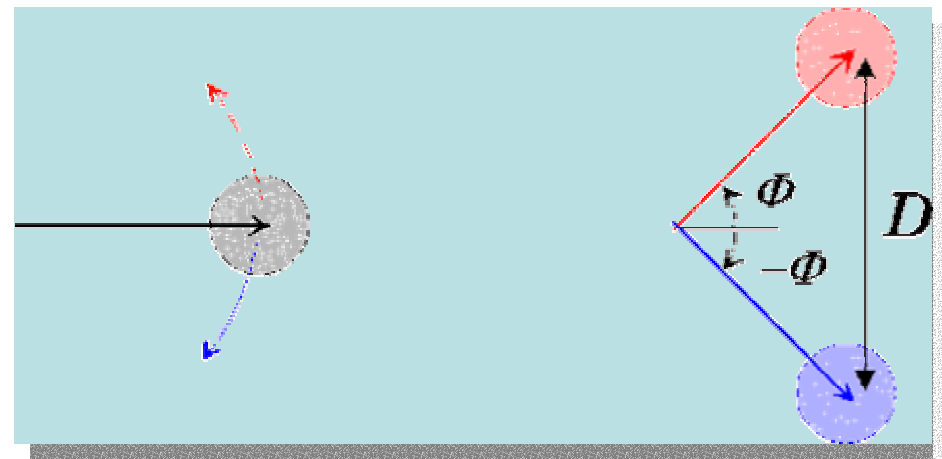
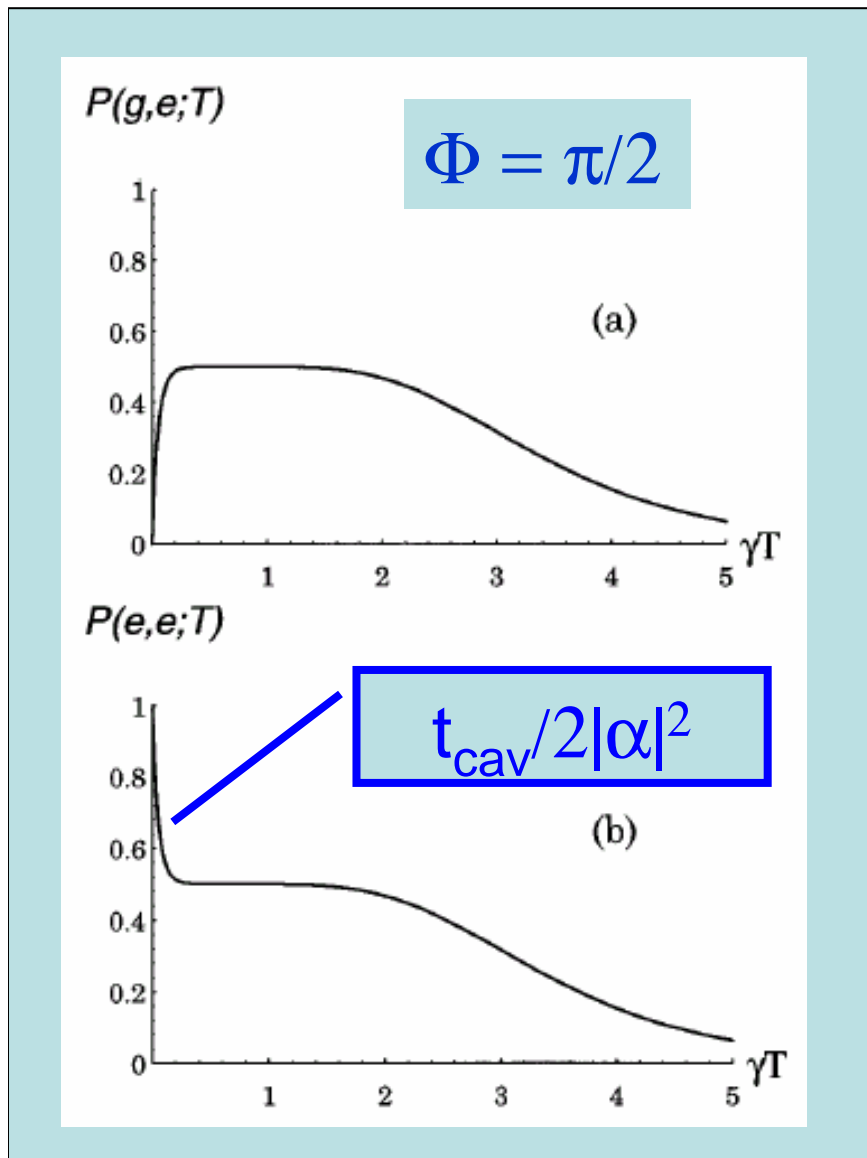
$$|\alpha\rangle - |-\alpha\rangle \propto \sum_{k=0}^{\infty} \frac{\alpha^{2k+1}}{(2k+1)!} |2k+1\rangle$$

Rotation de  $\pi/2$

Nombre pair de photons:  
rotation de  $2k\pi$   
(interaction dispersive)

Rotation de  $\pi/2$

# EFFET DE LA DISSIPATION



Temps de décohérence:  $= t_{cav}/D$   
 $\rightarrow$  intrication avec des états orthogonaux de l'environnement

$\alpha=0$ : Deux pulses  $\pi/2 \Rightarrow$  état atomique change.

Pas très sensitive à l'efficacité de détection!

# RESULTATS EXPERIMENTAUX

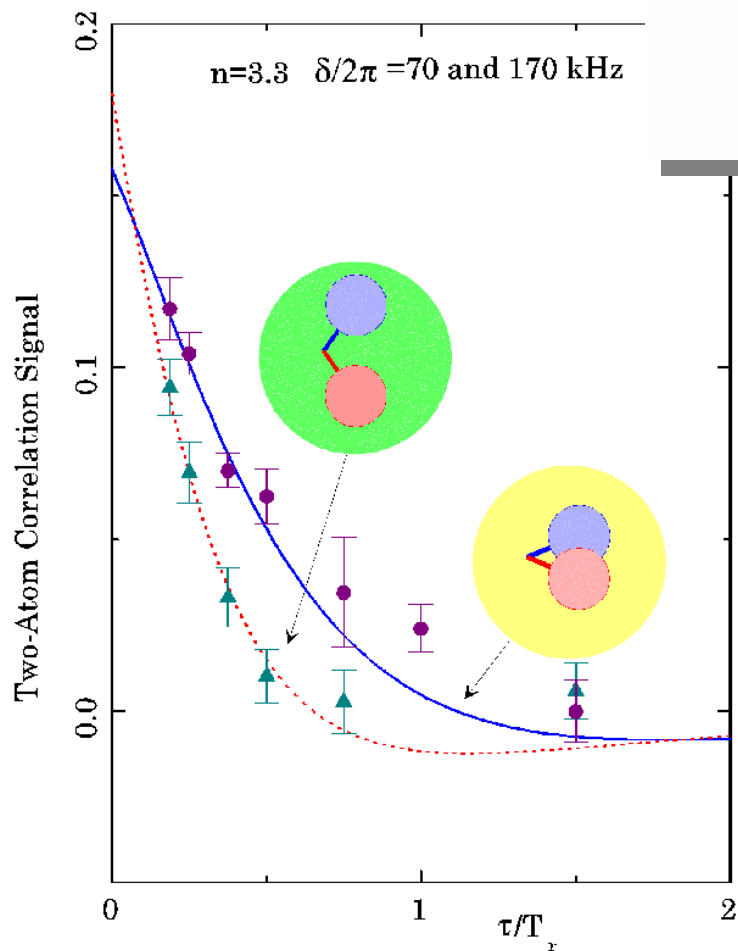
VOLUME 77, NUMBER 24

PHYSICAL REVIEW LETTERS

9 DECEMBER 1996

## Observing the Progressive Decoherence of the “Meter” in a Quantum Measurement

M. Brune, E. Hagley, J. Dreyer, X. Maître, A. Maali, C. Wunderlich, J. M. Raimond, and S. Haroche  
*Laboratoire Kastler Brossel,\* Département de Physique de l’Ecole Normale Supérieure, 24 Rue Lhomond,  
F-75231 Paris Cedex 05, France*  
(Received 10 September 1996)



$$P_{ee} - P_{eg}$$

Angle maximale  $2\phi \cong \pi/2$

# REPRESENTATION DANS L'ESPACE DE PHASE

On cherche une représentation avec les propriétés suivantes:

$$\int dp W(q, p) = \langle q | \hat{\rho} | q \rangle, \quad \int dq W(q, p) = \langle p | \hat{\rho} | p \rangle$$

Etat pure:

$$\langle q | \hat{\rho} | q \rangle = |\psi(q)|^2, \quad \langle p | \hat{\rho} | p \rangle = |\tilde{\psi}(p)|^2$$

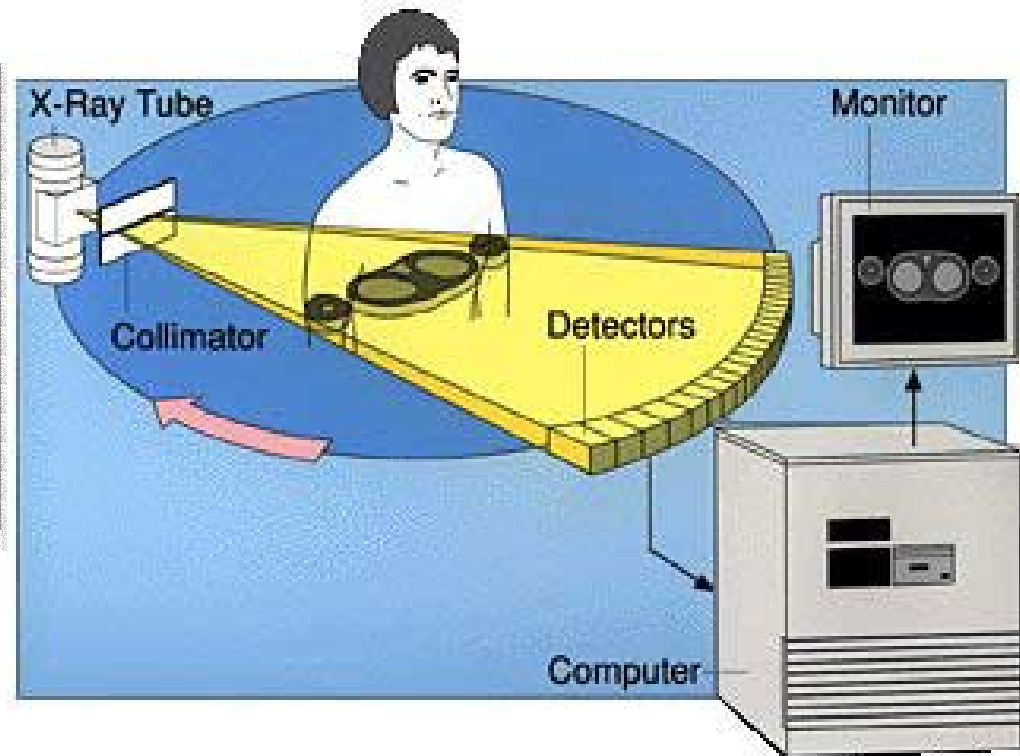
Cette propriété doit rester valable si les axes sont soumis a une rotation:

$$\int W(q_\theta \cos \theta - p_\theta \sin \theta, q_\theta \sin \theta + p_\theta \cos \theta) dp_\theta \\ = P(q_\theta) = \langle q | \hat{U}^\dagger(\theta) \hat{\rho} \hat{U}(\theta) | q \rangle$$

# TRANSFORMÉE DE RADON (1917)

$P(q_\theta)$  détermine  
 $W(q,p)$  d'une  
manière unique!  
→ transformée  
inverse de Radon  
→ tomographie

Cormack and  
Hounsfield: prix  
Nobel de Medicine  
(1979)



Mécanique quantique:  $P(q_\theta)$   
⇒ fonction de Wigner  
(Bertrand et Bertrand, 1987)



# LA DISTRIBUTION DE WIGNER

**Wigner, 1932:** Corrections quantiques à la mécanique statistique classique

$$\hat{x}|x\rangle = x|x\rangle$$

$$W(x, p) = \frac{1}{\pi\hbar} \int \langle x+x' | \hat{\rho} | x-x' \rangle e^{-2ipx'/\hbar} dx'$$

**Moyal, 1949:** Moyenne d'opérateurs en forme symétrique:

$$\text{Tr} \left[ \hat{\rho} (\hat{x}\hat{p} + \hat{p}\hat{x}) / 2 \right] = \int dx dp W(x, p) xp$$

Matrice densité à partir de W:

$$\langle x+x' | \hat{\rho} | x-x' \rangle = \int W(x, p) e^{2ipx'/\hbar} dp / \hbar$$

# LA QUESTION DE PAULI

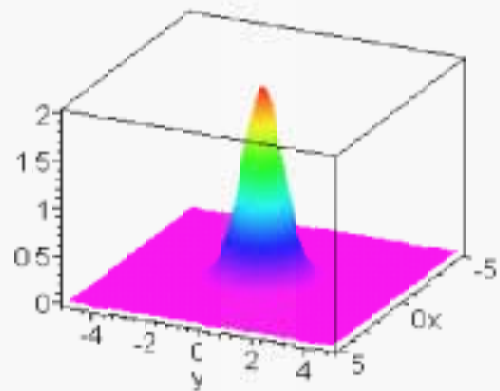
Handbuch der Physik, 1933 – *“The mathematical problem, as to whether for given functions  $W(x)$  and  $W'(p)$  [position and momentum probability densities], the wave function  $\psi$ , if such a function exists, is always uniquely determined has not been investigated in all its generality.”*

**Reponse:**  $W(x) = |\psi(x)|^2$  et  $W'(p) = |\psi'(p)|^2$

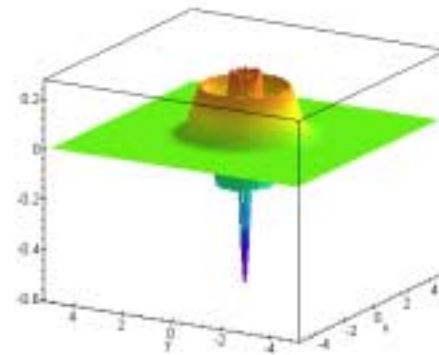
ne forment pas un ensemble tomographique complet!

# EXEMPLES DE DISTRIBUTIONS DE WIGNER

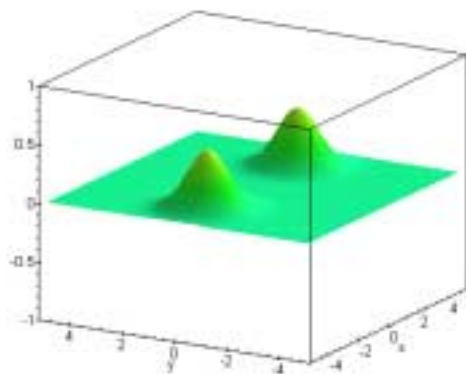
État fondamentale



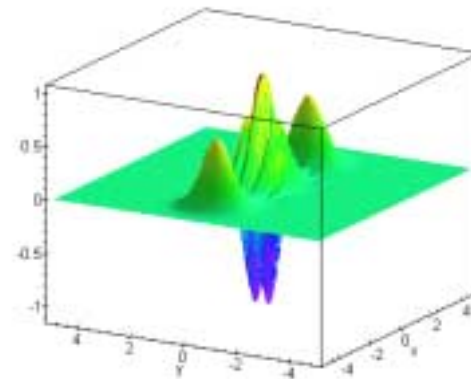
État de Fock n=3



Mélange  $(|\alpha\rangle\langle\alpha|+|-\alpha\rangle\langle-\alpha|)/2$

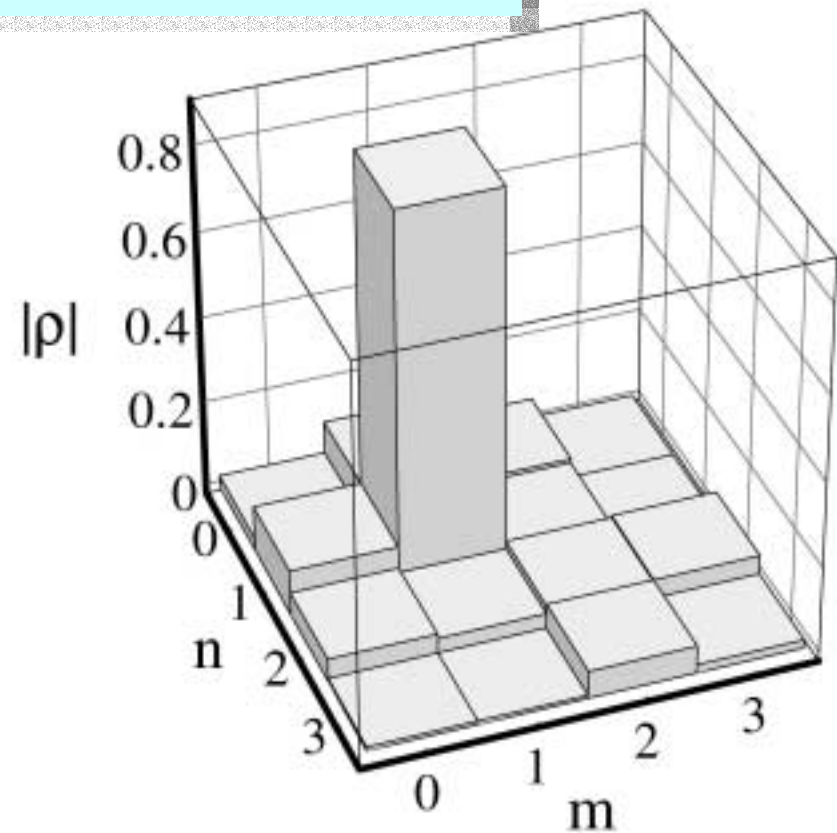
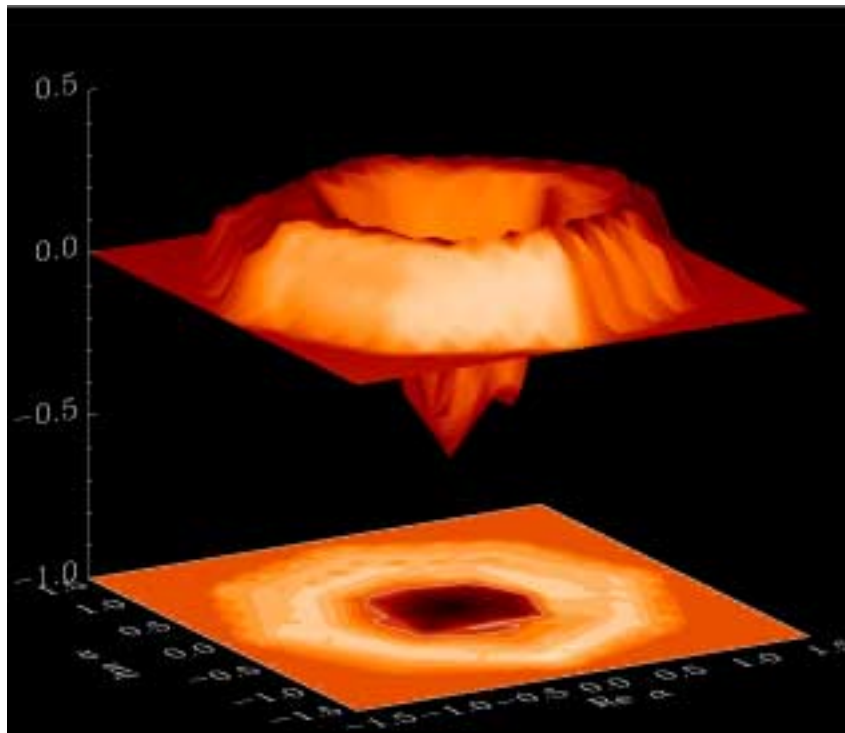


Superposition  $\propto |\alpha\rangle+|-\alpha\rangle$

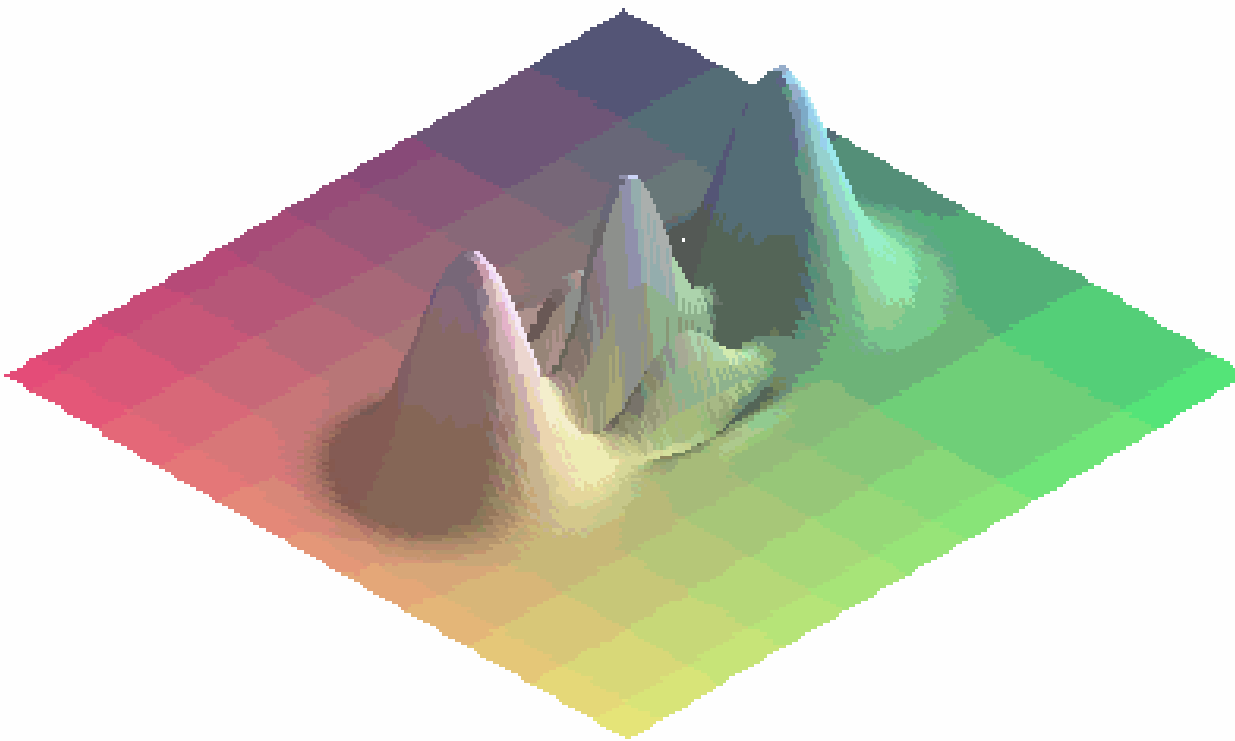


# MESURE DE L'ETAT QUANTIQUE DE MOUVEMENT D'UN ION PIEGE

Groupe de Wineland - NIST – PRL 77, 4281 (1996)



# LA DISTRIBUTION DE WIGNER ET LA LIMITE CLASSIQUE DE LA MECANIQUE QUANTIQUE



Dissipation  
amène à la  
disparition  
des franges!

Evolution d'une  
superposition  
cohérente  
d'états  
cohérents

# CHAMP ELECTROMAGNETIQUE ET L'ESPACE DE PHASE

- Champ électromagnétique monomode:

$$E = E_0 \left[ q_1 \cos(\vec{k} \cdot \vec{r} - \omega t) + q_2 \sin(\vec{k} \cdot \vec{r} - \omega t) \right]$$

quadratures

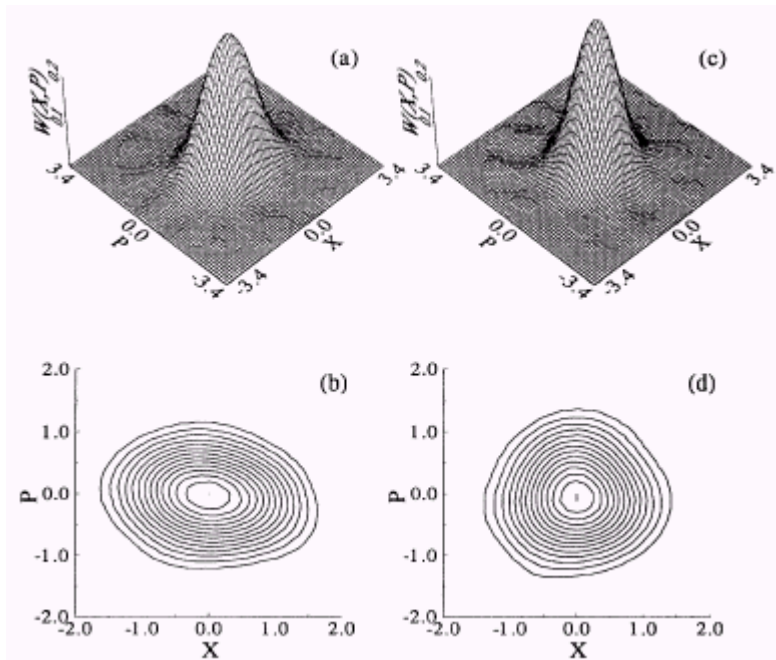
Analogues de la position et du momentum à  $t = 0$   
d'un oscillateur harmonique:

$$\hat{x}(t) = \hat{x}(0) \cos \omega t + \frac{\hat{p}(0)}{m\omega} \sin \omega t$$

Risken et Vogel, 1989: mesure homodyne  $\rightarrow P(q_\theta) \rightarrow$   
distribution de Wigner pour le champ EM

# RESULTATS EXPERIMENTAUX

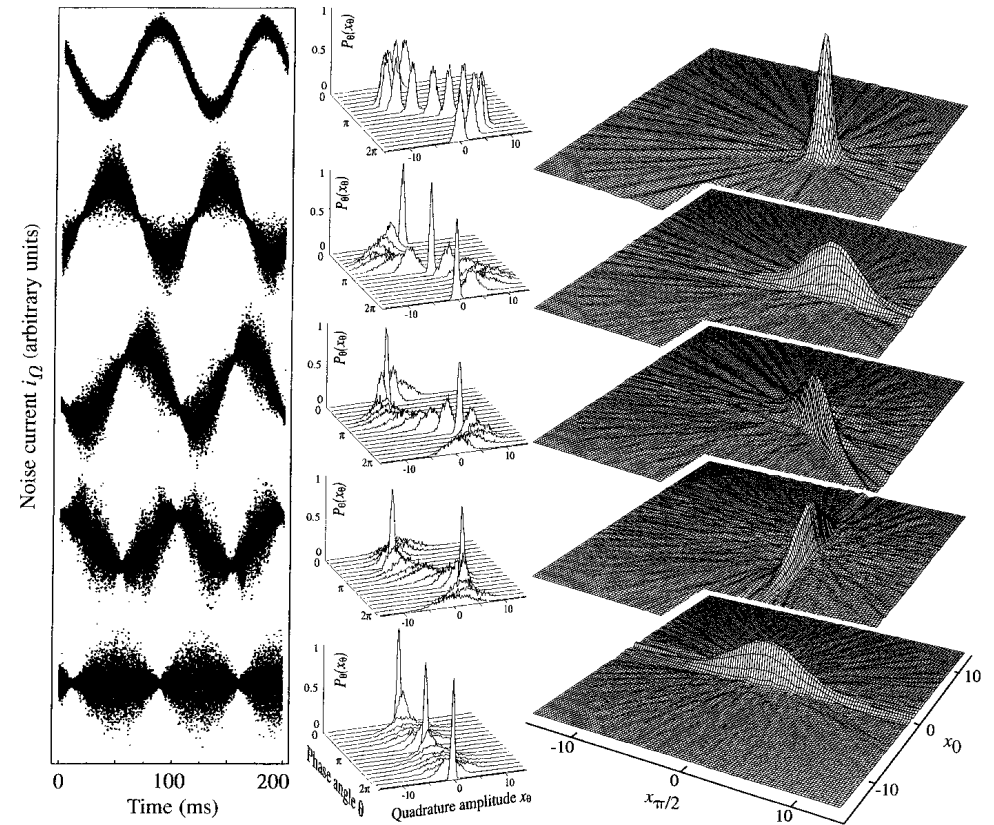
Smithey *et al.*, PRL **70**,  
1244 (1993)



Comprimé

Vide

Breitenbach *et al.*, Nature **387**,  
471 (1997)



# MESURE DE L'ETAT QUANTIQUE D'UN SEUL PHOTON

PHYSICAL REVIEW A, VOLUME 62, 054101

## Measurement of a negative value for the Wigner function of radiation

G. Nogues,<sup>1</sup> A. Rauschenbeutel,<sup>1</sup> S. Osnaghi,<sup>1</sup> P. Bertet,<sup>1</sup> M. Brune,<sup>1</sup> J. M. Raimond,<sup>1</sup> S. Haroche,<sup>1</sup> L. G. Lutterbach,<sup>2</sup>  
and L. Davidovich<sup>2</sup>

<sup>1</sup>*Laboratoire Kastler Brossel,\* Département de Physique de l'Ecole Normale Supérieure,  
24 rue Lhomond, F-75231 Paris Cedex 05, France*

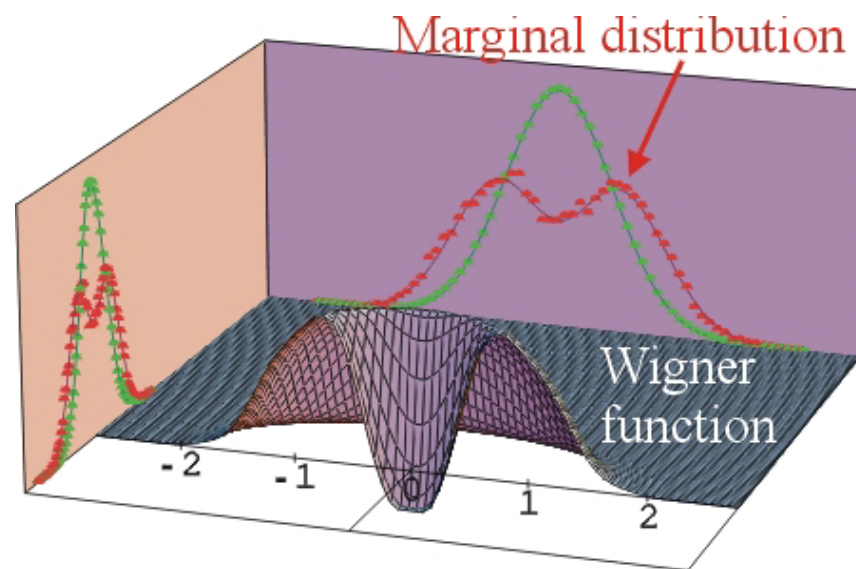
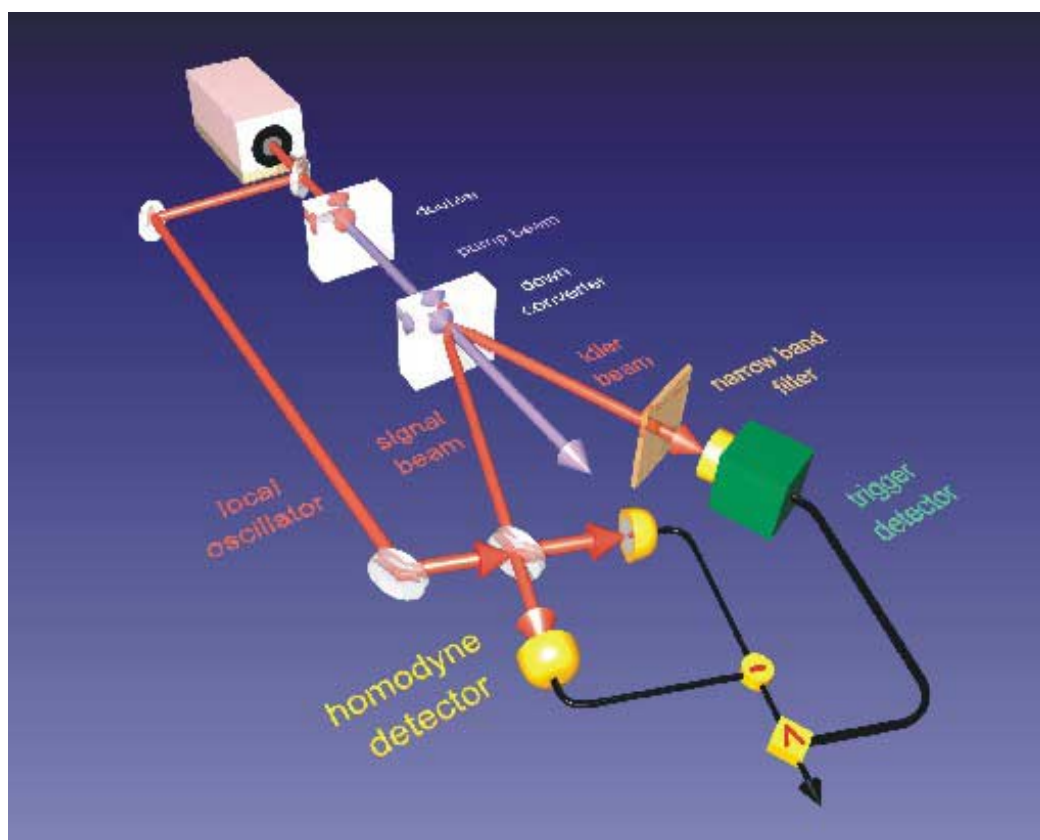
<sup>2</sup>*Instituto de Fisica, Universidade Federal do Rio de Janeiro, Caixa Postale 68528, 21945-970 Rio de Janeiro, RJ, Brazil*  
(Received 2 December 1999; published 11 October 2000)

Following a proposal by two of us [L. G. Lutterbach and L. Davidovich, Phys. Rev. Lett. **78**, 2547 (1997)], we have measured the Wigner function at the origin of phase space for a single photon field. Its value is negative, exhibiting the nonclassical nature of this state. The experiment is based on the absorption-free detection of the microwave field stored in a superconducting cavity [G. Nogues *et al.*, Nature (London) **400**, 239 (1999)]. Extension to a measurement of the Wigner function over the complete phase space is discussed.



# MESURE COMPLETE DE LA DISTRIBUTION DE WIGNER POUR UN PHOTON

Lvovsky *et al*, PRL 87, 050402 (2001)



# MESURE DIRECTE DE LA DISTRIBUTION DE WIGNER

L.G. Lutterbach et L.D., PRL 78, 2547 (1997)

Basée sur l'expression suivante pour la distribution de Wigner (Cahill and Glauber, 1969):

$$W(\alpha, \alpha^*) = 2\text{Tr} \left[ \hat{D}^{-1}(\alpha, \alpha^*) \hat{\rho} \hat{D}(\alpha, \alpha^*) \exp(i\pi \hat{a}^\dagger \hat{a}) \right]$$

$\exp(\alpha \hat{a}^\dagger - \alpha^* \hat{a})$   
Opérateur de déplacement

Opérateur de parité  
 $\hat{P} \hat{a} \hat{P} = -\hat{a}$

$$|W(\alpha, \alpha^*)| \leq 2$$

$$\text{Tr} \left[ \hat{\rho} (\hat{a} \hat{a}^\dagger + \hat{a}^\dagger \hat{a}) / 2 \right] = \int d^2\alpha W(\alpha, \alpha^*) \alpha \alpha^*$$

# OPERATEUR DE DEPLACEMENT

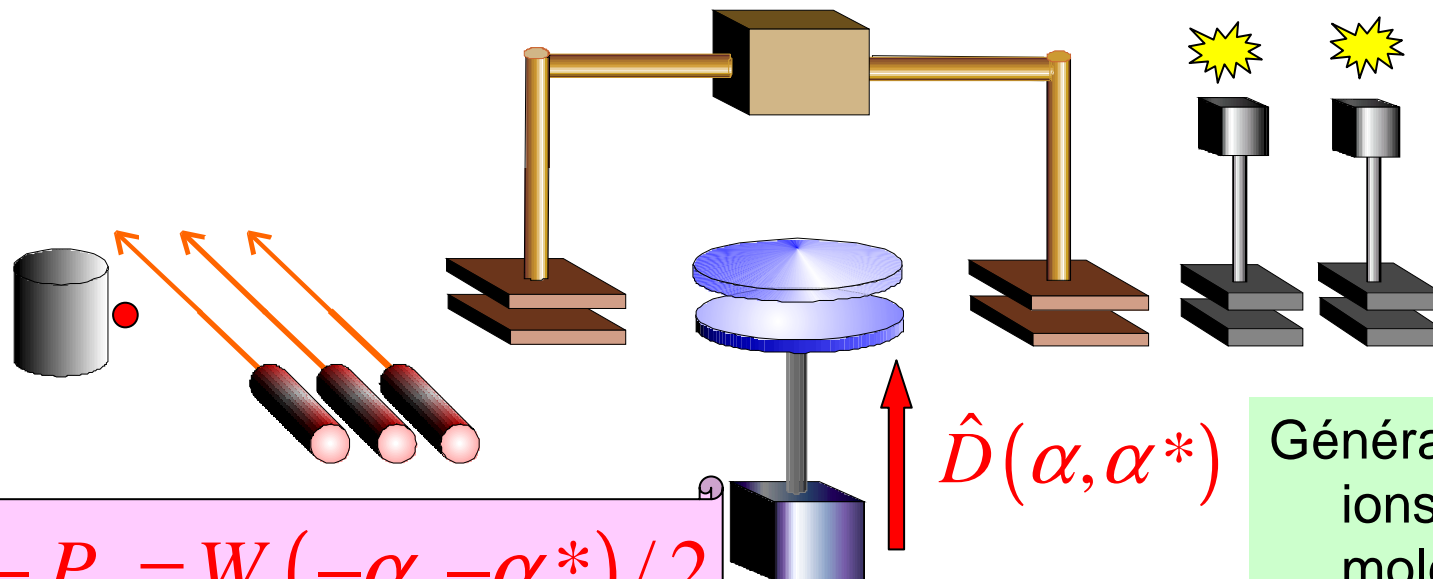
- Translation de la position et du momentum dans l'espace de phase

$$\hat{D}(\alpha, \alpha^*) = \exp(\alpha \hat{a}^\dagger - \alpha^* \hat{a})$$
$$\hat{a} = (\hat{x} + i\hat{p}) / \sqrt{2\hbar}, \quad \hat{a}^\dagger = (\hat{x} - i\hat{p}) / \sqrt{2\hbar}$$

- Correspond à l'action d'une force externe sur un oscillateur harmonique, ou d'un courant externe sur un champ EM

$$H_I = \int \vec{j} \cdot \vec{A} d^3x \propto \alpha \hat{a}^\dagger - \alpha^* \hat{a}$$

# PROPOSITION EXPERIMENTALE

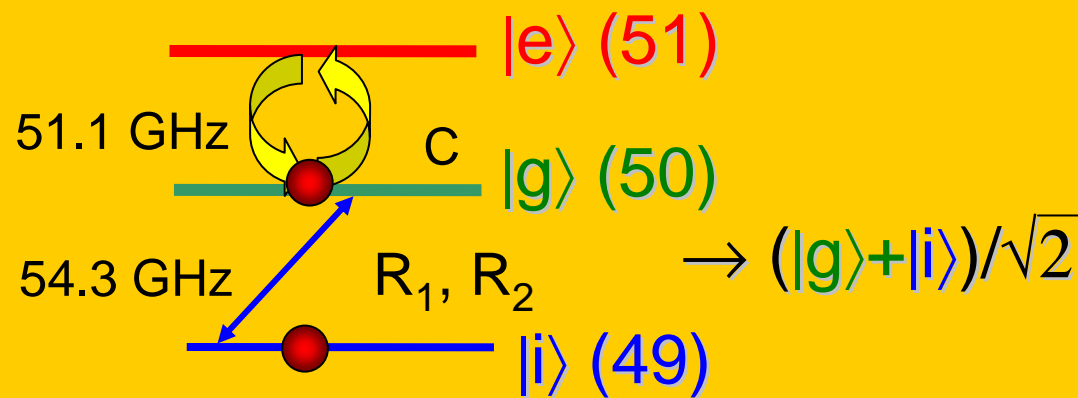


Généralisation:  
ions,  
molécules

$$P_e - P_g = W(-\alpha, -\alpha^*) / 2$$

1. Déplacer champ à mesurer (brancher micro-onde)
2. Envoyer atome: phase du champ déplacée par  $\pi$
3. Détecter l'état atomique
4. Produire encore le champ, répéter la procédure

# ALTERNATIVE POUR DES ETATS A UN ET DEUX PHOTONS



Valeur négative de la distribution de Wigner à l'origine de l'espace de phase!

Porte de phase!

A la place d'un déplacement de phase dispersive:

- $|g\rangle \Rightarrow$  rotation de  $2\pi$ , s'il y a un photon dans la cavité  $\Rightarrow$  changement de signe (spin  $\frac{1}{2}$ )
- $|i\rangle \Rightarrow$  pas de rotation

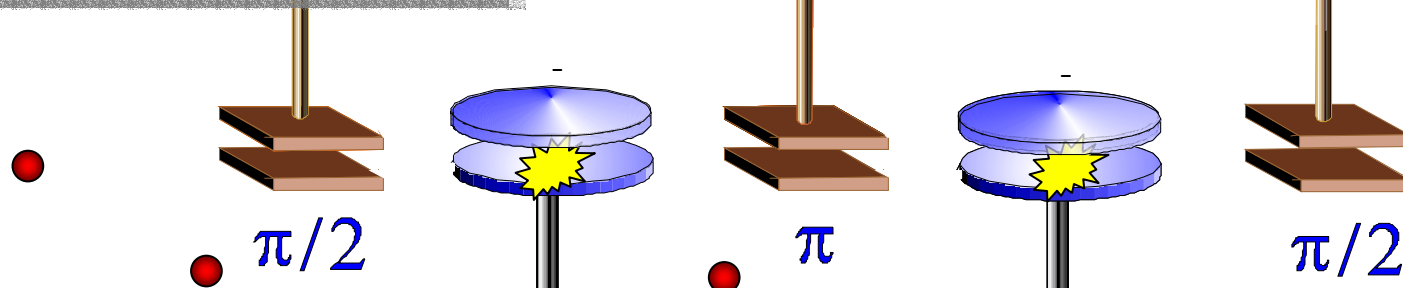
$$W_0(0) = 1.12$$

$$W_1(0) = -1.32$$

# PAS SUIVANTS?

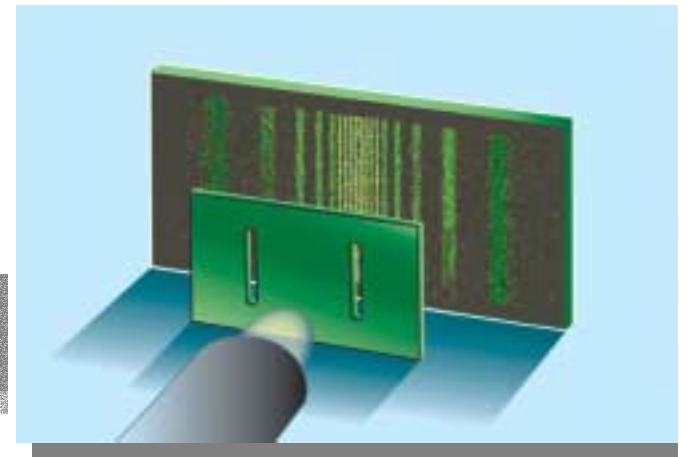
## Expériences avec deux cavités

Distillation (M. Abanto,  
L.G. Lutterbach, L.D.)

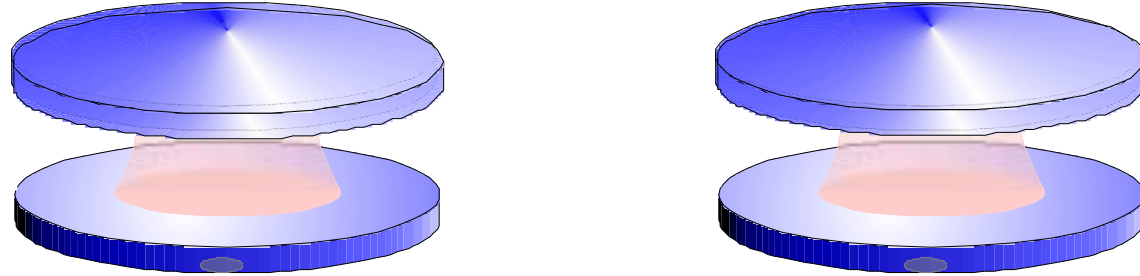


Téléportation [L.D.  
*et al*, PRA **50**,  
R895 (1994)]

$$|\alpha, -\alpha\rangle + |-\alpha, \alpha\rangle \rightarrow |2\alpha, 0\rangle + |0, 2\alpha\rangle$$



# DISTILLATION AVEC DEUX CAVITÉS



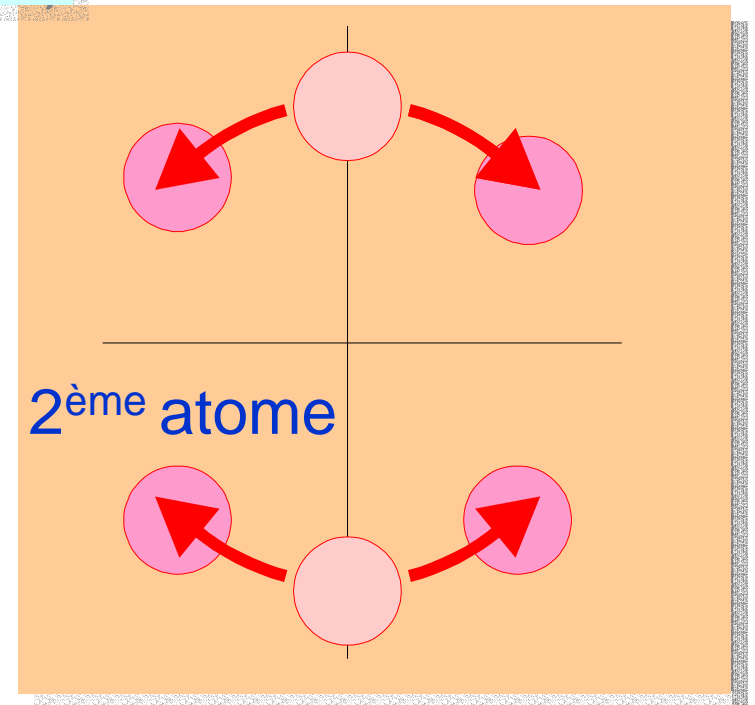
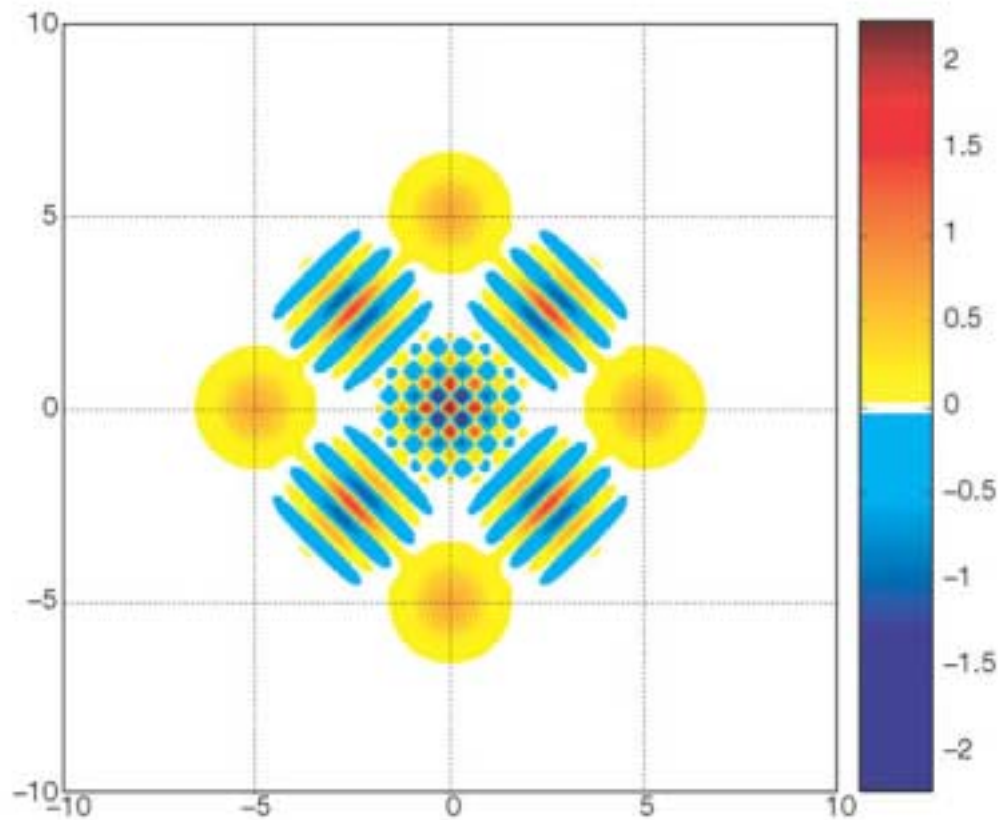
Deux modes dans chaque cavité  $\rightarrow$   
deux paires dans l'état  $(|10\rangle + |01\rangle)/\sqrt{2}$

Si les deux  
atomes sont  
détectés dans  
l'état  $|e\rangle$ : état  
singulet récupéré

$$\rho(t) = \frac{e^{-2\lambda t}}{2} (|10\rangle + |01\rangle)(\langle 10| + \langle 01|) + (1 - e^{-2\lambda t}) |00\rangle\langle 00|$$

# STRUCTURES SUB-PLANCK DANS L'ESPACE DE PHASE

W. Zurek, Nature 412, 712 (2001)



Carrés avec des  
surfaces  $< \hbar$



# QUELQUES QUESTIONS ENCORE

- Théorie détaillée de la décohérence champ+électrons dans le miroirs+l'environnement
- Mesure de la distribution de Wigner des modes intriqués  $(|01\rangle+|10\rangle/\sqrt{2})$  – caractérisation de l'intrication
- Comment contrôler la décohérence?

# CONCLUSIONS

- Electrodynamique quantique en cavité permet un étude détaillé de la décohérence
- On peut mesurer directement la distribution de Wigner du champ dans la cavité, ce qui permet de suivre le procès de décohérence
- Nouvelles propositions pour l'investigation de champs non locales, pour faire des démonstrations de téléportation et de distillation, et pour mesurer des structures sub-Planck dans l'espace de phase